

Appendix E: Duty Cycle

Test Graphs





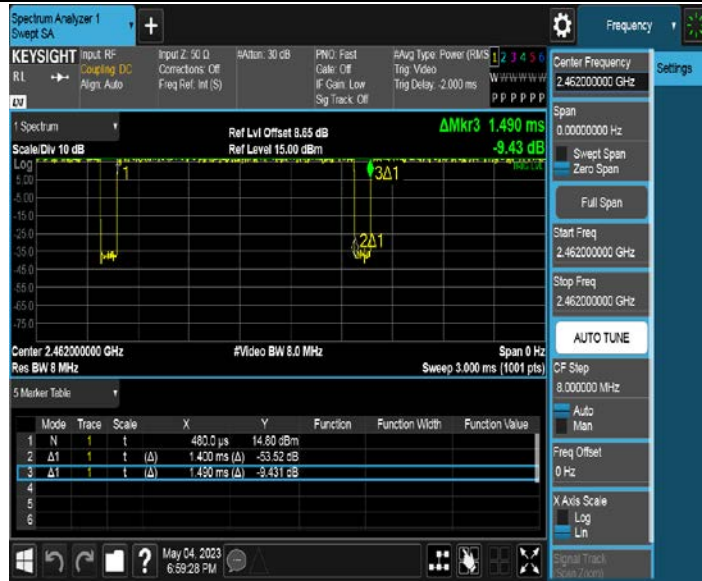
11G_Ant0_2412



11G_Ant0_2437



11G_Ant0_2462



11N20SISO_Ant0_2412



11N20SISO_Ant0_2437



11N20SISO_Ant0_2462



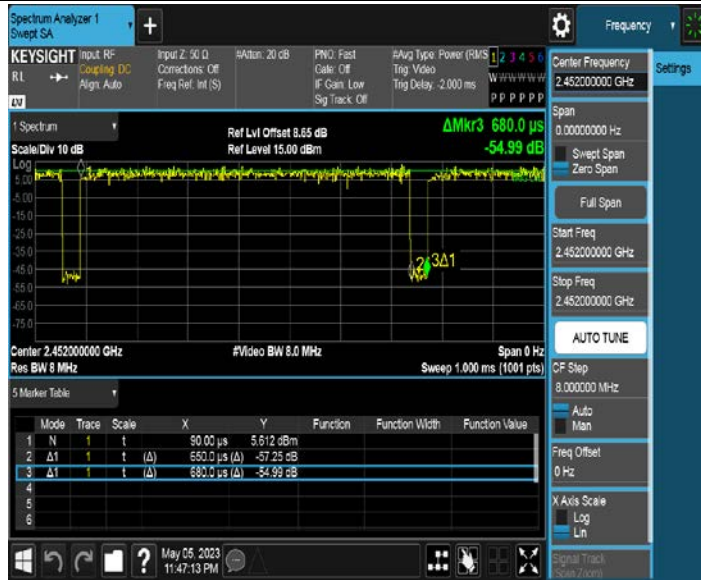
11N40SISO_Ant0_2422



11N40SISO_Ant0_2437

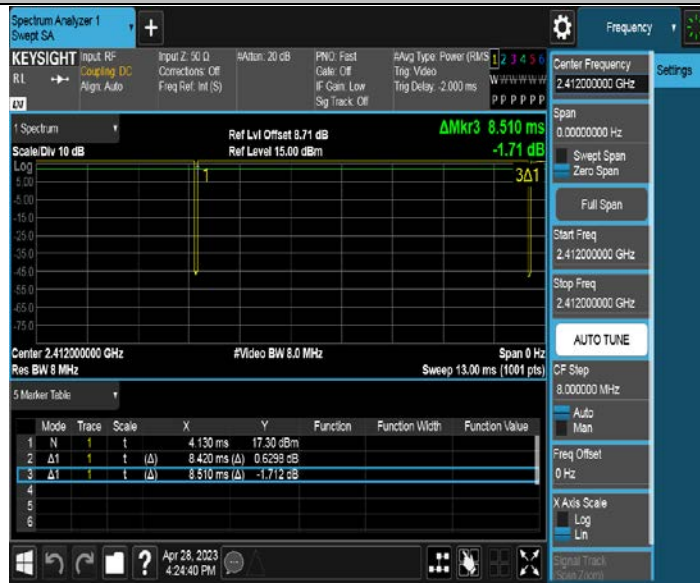


11N40SISO_Ant0_2452



Test Graphs

11B_Ant1_2412



11B_Ant2_2412



11B_Ant1_2437



11B_Ant2_2437



11B_Ant1_2462



11B_Ant2_2462



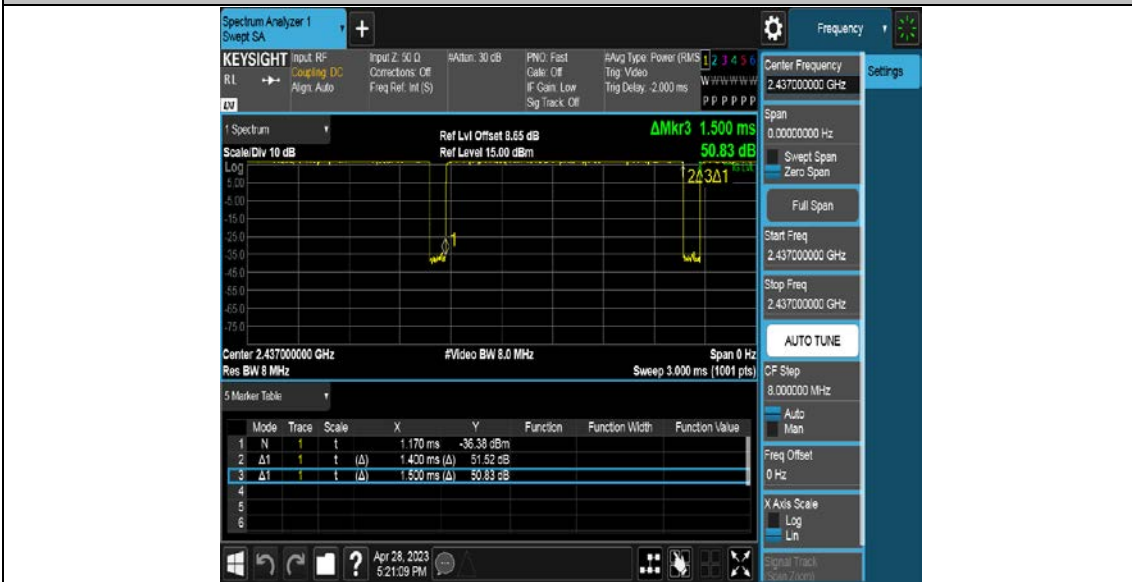
11G_Ant1_2412



11G_Ant2_2412



11G_Ant1_2437



11G_Ant2_2437



11G_Ant1_2462



11G_Ant2_2462



11N20SISO_Ant1_2412



11N20SISO_Ant2_2412



11N20SISO_Ant1_2437



11N20SISO_Ant2_2437



11N20SISO_Ant1_2462



11N20SISO_Ant2_2462



11AX20SISO_Ant1_2412



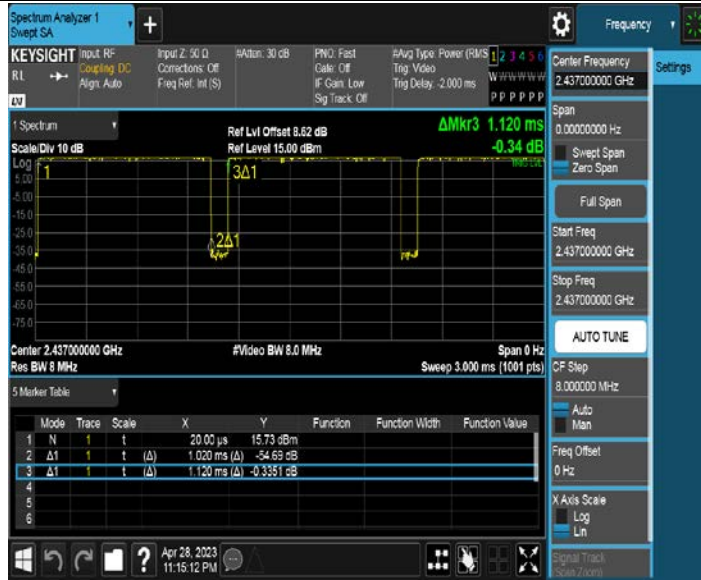
11AX20SISO_Ant2_2412



11AX20SISO_Ant1_2437



11AX20SISO_Ant2_2437



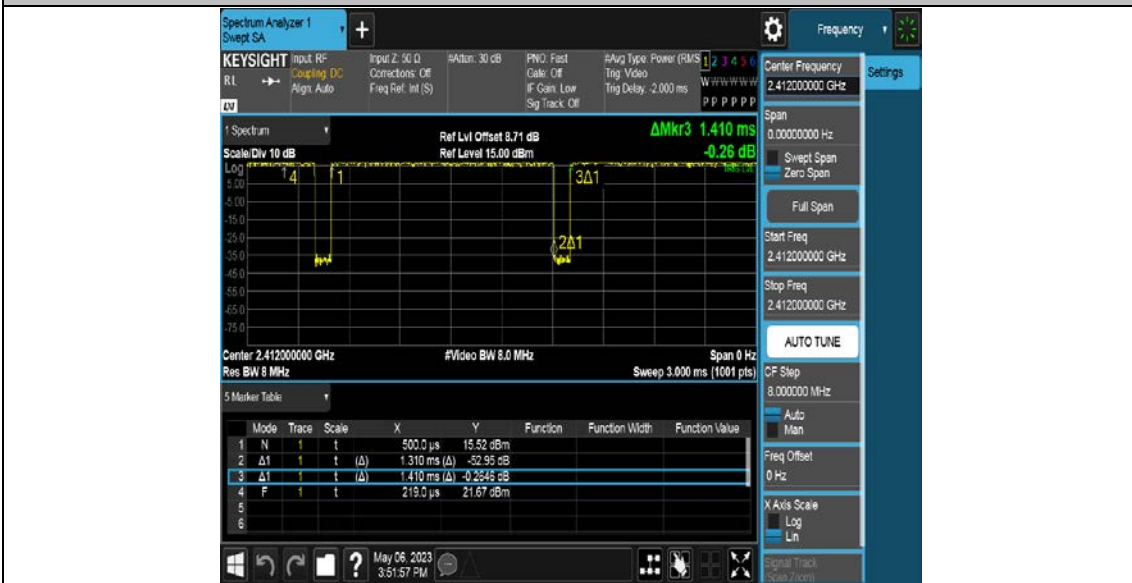
11AX20SISO_Ant1_2462



11AX20SISO_Ant2_2462



11N20MIMO_Ant1_2412



11N20MIMO_Ant2_2412



11N20MIMO_Ant1_2437



11N20MIMO_Ant2_2437



11N20MIMO_Ant1_2462



11N20MIMO_Ant1_2462



11N20MIMO_Ant2_2462

11AX20MIMO_Ant1_2412



11AX20MIMO_Ant2_2412



11AX20MIMO_Ant1_2437



11AX20MIMO_Ant2_2437



11AX20MIMO_Ant1_2462



11AX20MIMO_Ant2_2462

